

CONTROLE DE PROCESSOS I

Pré-Requisito: MET. MAT. I

I. RESPOSTA DE SISTEMAS DINÂMICOS

(Cap. 4-7 - Seborg, Edgar, Mellichamp
Cap. 4 - Kreyzig)

- 1.1 - Função de Transferência
- 1.2 - Linearização de Modelos Não-lineares
- 1.3 - Sistemas lineares da 1ª e 2ª Ordem
- 1.4 - Sistemas de Ordem Superior e Tempo Morto
- 1.5 - Modelos Dinâmicos Baseados em Dados
- 1.6 - Características Dinâmicas de Sistemas

1.1 - Função de Transferência

⇒ É uma expressão algébrica para a relação dinâmica entre a entrada e a saída do modelo do processo;

⇒ Pode ser obtida apenas para sistemas lineares. Os modelos não-lineares devem primeiro ser linearizados para sua posterior aplicação.

ex: solução de P.V.I. usando Transformada de Laplace:

$$\begin{cases} 5 \frac{dy}{dt} + 4y = r(t) = 2 \\ y(0) = y_0 = 1 \end{cases}$$

$$5 [sY(s) - y(0)] + 4Y(s) = \frac{2}{s}$$

$$(5s + 4)Y(s) = \frac{2}{s} + 5 \Rightarrow Y(s) = \frac{5s + 2}{s(5s + 4)} = \frac{1}{2s} + \frac{1}{2(s + \frac{4}{5})}$$

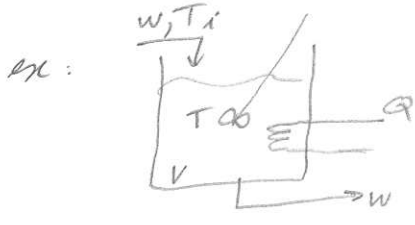
$$y(t) = \frac{1}{2} + \frac{1}{2} e^{-\frac{4}{5}t}$$

NOTA: qualquer mudança em $r(t)$ ou y_0 requer uma nova transformada e sua respectiva inversa.

Para processos reais, em geral, deseja-se analisar o seu comportamento dinâmico frente a perturbações que tendem a tirar o processo do seu estado estacionário normal de operação. Desta forma é conveniente definir uma nova variável:

$$x(t) = y(t) - \bar{y}$$

onde \bar{y} é o valor de $y(t)$ no estado estacionário
 $x(t)$ é a variável desvio ou variável perturbação



$$\begin{cases} \rho V C_p \frac{dT}{dt} = w C_p (T_i - T) + Q \\ T(0) = \bar{T} \quad (\text{estado estacionário}) \\ T_i(0) = T_i \quad \text{e} \quad Q(0) = \bar{Q} \end{cases}$$

estado estacionário : $w C_p (\bar{T}_i - \bar{T}) + Q = 0$

variável desvio : $x(t) = T(t) - \bar{T} \quad \therefore \frac{dx}{dt} = \frac{dT}{dt}$

$\rho V C_p \frac{dx}{dt} = w C_p (\bar{T}_i - x + \bar{T}) + Q$ (substituindo o estado estac.)

$\rho V C_p \frac{dx}{dt} = w C_p (\bar{T}_i - \bar{T}_i - x) + Q - \bar{Q}$

definindo : $v(t) = \bar{T}_i - \bar{T}_i$ e $u(t) = Q - \bar{Q}$

tem-se : $\rho V C_p \frac{dx}{dt} = w C_p (v - x) + u \quad (\div w C_p)$

$\frac{\rho V}{w} \frac{dx}{dt} = v - x + \frac{u}{w C_p}$, $\tau \equiv \frac{\rho V}{w}$ e $K \equiv \frac{1}{w C_p}$

τ é a constante de tempo do processo, sendo uma indicação da velocidade de resposta do processo. τ grande \Rightarrow resposta lenta.

K é o ganho do estado estacionário, pois $\bar{x} = 1 \cdot \bar{v} + K \bar{u}$, relacionado a entrada $u(t)$, enquanto que em relação a $v(t)$, o ganho é 1.

Portanto :
$$\begin{cases} \tau \frac{dx}{dt} = v - x + K u \\ x(0) = 0 \end{cases}$$

Aplicando T. Laplace : $\tau [s X(s) - x(0)] = V(s) - X(s) + K U(s)$

$X(s) = \frac{K}{\tau s + 1} U(s) + \frac{1}{\tau s + 1} V(s) = G_p(s) U(s) + G_d(s) V(s)$

onde $G_p(s) = \frac{K}{\tau s + 1}$ e $G_d(s) = \frac{1}{\tau s + 1}$ são chamadas

de funções de transferência, sendo que $G_p(s)$ relaciona a entrada $U(s)$ com a saída $X(s)$, e $G_d(s)$ relaciona a entrada $V(s)$ com a saída $X(s)$. Observa-se que τ e K dependem somente das condições de operação e não da condição inicial.

ex: mantendo $T_i = \bar{T}_i$ cte e aplicando um degrau de ΔQ em Q ,
 i.e., $Q = \bar{Q} + \Delta Q$, tem-se $v(t) = 0 \Rightarrow V(D) = 0$ e
 $u(t) = \Delta Q \Rightarrow U(D) = \frac{\Delta Q}{D} \therefore X(D) = \frac{K \cdot \Delta Q}{\tau D + 1}$

$$X(D) = K \Delta Q \left(\frac{1}{D} - \frac{1}{D + \frac{1}{\tau}} \right) \Rightarrow x(t) = K \Delta Q (1 - e^{-t/\tau})$$

$$\boxed{T(t) = \bar{T} + K \Delta Q (1 - e^{-t/\tau})}$$

Portanto, toda função de transferência indica a relação dinâmica entre uma variável de entrada com uma variável de saída:

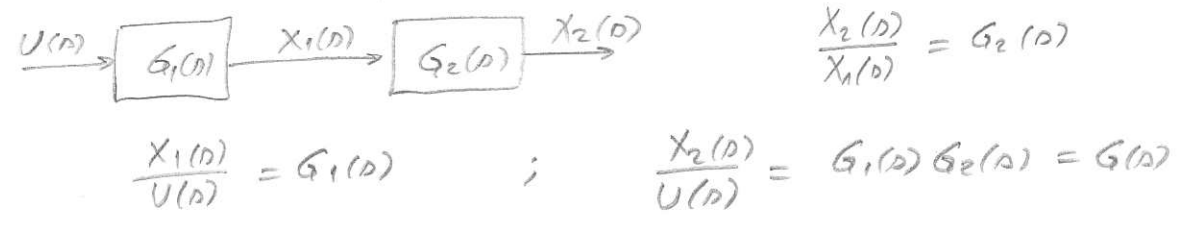
$$\frac{X(D)}{U(D)} = G_p(D) = \frac{K}{\tau D + 1} ; V(D) = 0$$

$$\frac{X(D)}{V(D)} = G_d(D) = \frac{1}{\tau D + 1} ; U(D) = 0$$

Os efeitos de mudanças simultâneas são aditivos devido ao princípio da superposição para sistemas lineares.

Propriedades da função de transferência

- 1) A mudança no estado estacionário da saída, $x(t)$, devido a uma mudança mantida na entrada pode ser obtida diretamente de $G(D)$, fazendo $D=0$. Portanto, se um processo possui um ganho, K , do estado estacionário, então: $\boxed{K = G(0)}$
- 2) A ordem do polinômio do denominador de $G(D)$ é igual a ordem da equação diferencial do sistema.
- 3) Propriedade aditiva: $X(D) = G_p(D) U(D) + G_d(D) V(D)$
- 4) Para processos fisicamente realizáveis, a ordem do polinômio do denominador, n , de $G(D)$ é sempre maior ou igual a ordem do polinômio do numerador, m , ($n \geq m$). Funções de transferência com $m > 0$ exibem dinâmicas na entrada.
- 5) Processos em série tem suas funções de transferência multiplcadas.



1.2 - Linearização de Modelos não-lineares

Quando um processo está operando nas vizinhanças de um estado de operação, um modelo linearizado do processo pode ser suficientemente preciso.

Dado um modelo não-linear de um processo:

$$\frac{dy}{dt} = f(y, w)$$

uma expansão em série de Taylor em torno de um estado estacionário normal de operação, \bar{y} e \bar{w} , truncada no primeiro termo resulta:

$$f(y, w) \approx f(\bar{y}, \bar{w}) + \left. \frac{\partial f}{\partial y} \right|_{\bar{y}, \bar{w}} (y - \bar{y}) + \left. \frac{\partial f}{\partial w} \right|_{\bar{y}, \bar{w}} (w - \bar{w})$$

mas $f(\bar{y}, \bar{w}) = 0$ (estado estacionário)

$$\begin{aligned} x(t) &\equiv y(t) - \bar{y} \longrightarrow \frac{dx}{dt} = \frac{dy}{dt} \\ u(t) &\equiv w(t) - \bar{w} \end{aligned}$$


$$\frac{dx}{dt} = \left. \frac{\partial f}{\partial y} \right|_{\bar{y}, \bar{w}} \cdot x(t) + \left. \frac{\partial f}{\partial w} \right|_{\bar{y}, \bar{w}} \cdot u(t) \quad , \text{ sistema linear}$$


1.3 - Sistemas lineares de 1ª e 2ª ordem

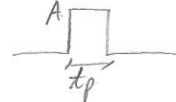
1.3.1 Tipos de entradas de processos:

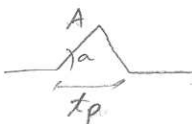
- 1) entradas que podem ser manipuladas pra controlar o processo (ex: $Q(t)$ do tanque)
- 2) entradas que não são manipuladas, também chamadas de perturbações ou variáveis de carga (ex: $T_i(t)$ do tanque)


1.3.2 Entradas padrões de processo:


1) degrau:  $u(t) = \begin{cases} 0, & t < 0 \\ A, & t \geq 0 \end{cases} \Rightarrow U(s) = \frac{A}{s}$


2) rampa:  $u(t) = \begin{cases} 0, & t < 0 \\ at, & t \geq 0 \end{cases} \Rightarrow U(s) = \frac{a}{s^2}$

3) pulso retangular:  $u(t) = \begin{cases} 0, & t < 0 \\ A, & 0 \leq t < t_p \\ 0, & t \geq t_p \end{cases} \Rightarrow U(s) = \frac{A}{s} (1 - e^{-t_p s})$

4) pulso triangular:  $u(t) = \begin{cases} 0, & t < 0 \\ at, & 0 \leq t < t_p/2 \\ -at, & t_p/2 \leq t < t_p \\ 0, & t \geq t_p \end{cases} \Rightarrow U(s) = \frac{aA}{s^2} (1 - 2e^{-\frac{t_p}{2}s} + e^{-t_p s})$
 $a = \frac{2A}{t_p}$

5) senoide:  $u(t) = \begin{cases} 0, & t < 0 \\ A \sin \omega t, & t \geq 0 \end{cases} \Rightarrow U(\rho) = \frac{A\omega}{\rho^2 + \omega^2}$

6) impulso:  $u(t) = \begin{cases} 0, & t < 0 \\ \infty, & t = 0 \\ 0, & t > 0 \end{cases} \Rightarrow U(\rho) = 1$

7) aleatório:  $u(t) = \begin{cases} 0, & t < 0 \\ \bar{\mu} + \sigma_u \cdot \text{rnd}(t), & t \geq 0 \end{cases} \quad \text{rnd}(t) \in [-1, 1]$

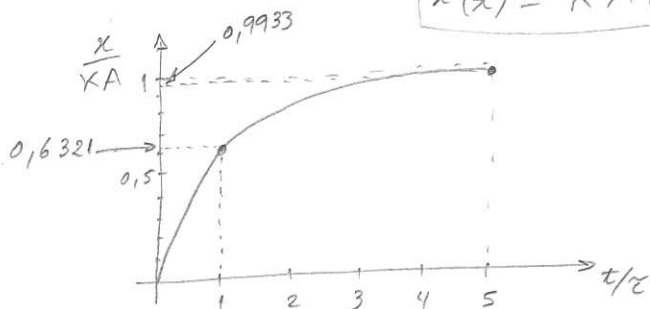
1.3.3 Resposta de sistemas de 1º ordem

função de transferência: $G(\rho) = \frac{K}{\tau\rho + 1}$

$X(\rho) = G(\rho) \cdot U(\rho)$

Resposta a um degrau: $X(\rho) = G(\rho) \cdot \frac{A}{\rho} = \frac{KA}{\rho(\tau\rho + 1)} = KA \left(\frac{1}{\rho} - \frac{1}{\rho + 1/\tau} \right)$

$x(t) = KA(1 - e^{-t/\tau})$



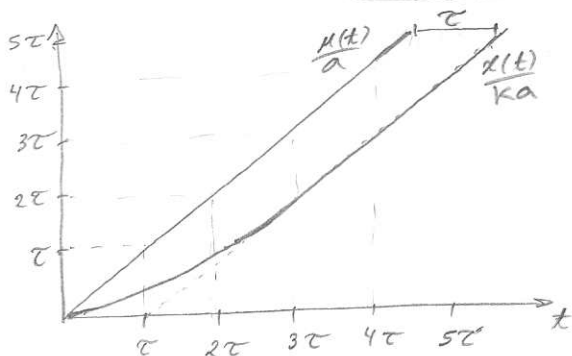
$\frac{x(t)}{KA} = 1 - e^{-t/\tau}$

$1 - e^{-1} = 0,6321 \Rightarrow$ para $t = \tau$ a resposta do processo está 63,21% completa.
 E para $t = 5\tau$ está 99,33% completa.

$\lim_{t \rightarrow \infty} x(t) = \lim_{\rho \rightarrow 0} \rho X(\rho) = \lim_{\rho \rightarrow 0} A G(\rho) = AK$, estado estacionário final

Resposta a uma rampa: $X(\rho) = G(\rho) \cdot \frac{a}{\rho^2} = \frac{Ka}{\rho^2(\tau\rho + 1)} = Ka \left(\frac{1}{\rho^2} - \frac{\tau}{\rho} + \frac{\tau}{\rho + 1/\tau} \right)$

$x(t) = Ka [t + \tau(e^{-t/\tau} - 1)]$



para $t \gg \tau \Rightarrow e^{-t/\tau} \approx 0$
 $x(t) \approx Ka(t - \tau)$

Resposta a uma senóide: $X(s) = \frac{KA\omega}{(\tau s + 1)(s^2 + \omega^2)}$

$$X(s) = \frac{KA}{\omega^2\tau^2 + 1} \left(\frac{\omega\tau^2}{\tau s + 1} - \frac{\rho\omega\tau}{s^2 + \omega^2} + \frac{\omega}{s^2 + \omega^2} \right)$$

$$x(t) = \frac{KA}{\omega^2\tau^2 + 1} \left[\omega\tau e^{-t/\tau} - \omega\tau\rho\cos\omega t + \sin\omega t \right] = KA \left[\frac{\omega\tau e^{-t/\tau}}{\omega^2\tau^2 + 1} + \frac{\sin(\omega t + \phi)}{\sqrt{\omega^2\tau^2 + 1}} \right]$$

onde $\phi = -\arctg(\omega\tau)$ (ângulo de fase)

$$\left(\begin{aligned} p \cos \theta + q \sin \theta &= r \sin(\theta + \phi) \\ r &= \sqrt{p^2 + q^2} \text{ e } \tan \phi = \frac{p}{q} \end{aligned} \right)$$

$$t \gg \tau \Rightarrow x(t) \approx \frac{KA \sin(\omega t + \phi)}{\sqrt{\omega^2\tau^2 + 1}}$$

- NOTAS:
- a saída e a entrada possuem a mesma frequência, ω
 - a saída está atenuada por $\frac{1}{\sqrt{\omega^2\tau^2 + 1}} < 1$
 - a saída está defasada de ϕ em relação a entrada, $u(t) = A \sin \omega t$
 - $\phi < 0 \Rightarrow$ sistema exibe "lag" de fase
 - $\phi > 0 \Rightarrow$ "lead" de fase
- } convenção

ex: processo sem ganho estacionário (processos integradores)



$$A \frac{da}{dt} = f_e(t) - f_s(t) \Rightarrow s A H(s) = F_e(s) - F_s(s)$$

$$H(s) = \frac{1}{A s} [F_e(s) - F_s(s)]$$

$\therefore \frac{H(s)}{F_e(s)} = \frac{1}{A s}$ e $\frac{H(s)}{F_s(s)} = -\frac{1}{A s} \rightarrow$ funções de transferência com comportamento de integração ($\frac{1}{s}$).

$G(0) = \infty \Rightarrow$ não tem ganho do estado estacionário

\Rightarrow qualquer mudança de $f_e(t)$ ou $f_s(t)$ que tire do estado estacionário, não vai levar o sistema a um novo estado estac.

1.3.4 Resposta de sistemas de 2ª ordem

função de transferência: $G(s) = \frac{K}{(\tau_1 s + 1)(\tau_2 s + 1)} = \frac{K}{\tau^2 s^2 + 2\zeta\tau s + 1}$

$$\tau^2 = \tau_1 \tau_2$$

$$2\zeta\tau = \tau_1 + \tau_2$$

$$\tau = \sqrt{\tau_1 \tau_2}$$

$$\zeta = \frac{\tau_1 + \tau_2}{2\sqrt{\tau_1 \tau_2}}$$

$$\tau_1 = \frac{\tau}{\zeta - \sqrt{\zeta^2 - 1}}$$

$$\tau_2 = \frac{\tau}{\zeta + \sqrt{\zeta^2 - 1}}$$

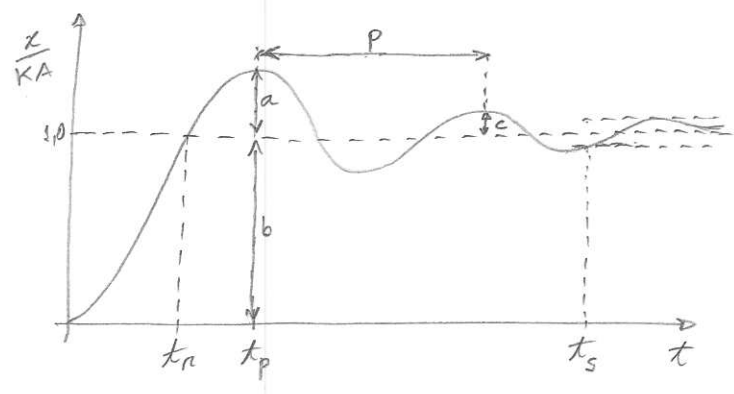
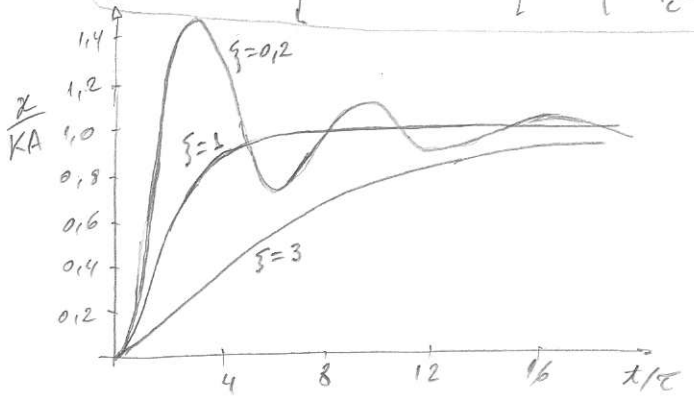
- $\xi > 1 \Rightarrow$ raízes reais $\neq \Rightarrow$ resposta sobre-amortecida
- $\xi = 1 \Rightarrow$ raízes reais $= \Rightarrow$ resposta criticamente amortecida
- $\xi < 1 \Rightarrow$ raízes complexas \Rightarrow resposta sub-amortecida
- $\xi = 0 \Rightarrow$ raízes imaginárias puras

Resposta a um degrau : $X(s) = G(s) \cdot \frac{A}{s} = \frac{KA}{s(\tau^2 s^2 + 2\xi\tau s + 1)}$

$\xi > 1$: $x(t) = KA \left(1 - \frac{\tau_1 e^{-t/\tau_1} - \tau_2 e^{-t/\tau_2}}{\tau_1 - \tau_2} \right) = KA \left[1 - e^{-\xi t/\tau} \left[\cosh\left(\frac{\sqrt{\xi^2 - 1}}{\tau} t\right) + \frac{\xi}{\sqrt{\xi^2 - 1}} \operatorname{senh}\left(\frac{\sqrt{\xi^2 - 1}}{\tau} t\right) \right] \right]$

$\xi = 1$: $x(t) = KA \left[1 - \left(1 + \frac{t}{\tau} \right) e^{-t/\tau} \right]$

$\xi < 1$: $x(t) = KA \left\{ 1 - e^{-\xi t/\tau} \left[\cos\left(\frac{\sqrt{1 - \xi^2}}{\tau} t\right) + \frac{\xi}{\sqrt{1 - \xi^2}} \operatorname{sen}\left(\frac{\sqrt{1 - \xi^2}}{\tau} t\right) \right] \right\}$



t_r : tempo para o processo cruzar pela primeira vez o novo estado estac.

t_p : tempo para atingir o primeiro pico

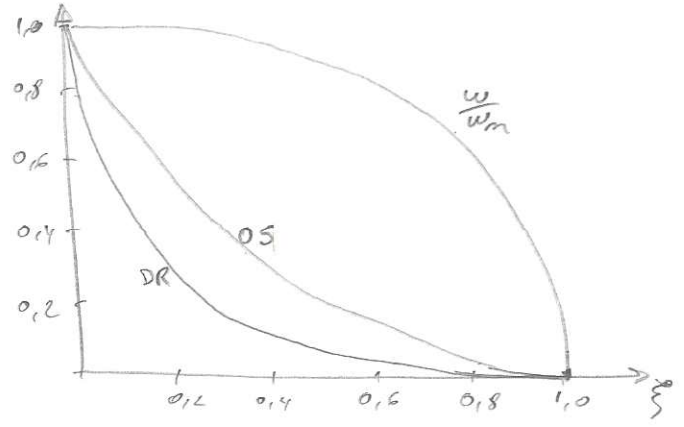
t_s : tempo para o processo começar a oscilar abaixo de $\pm 5\%$ do novo estado estacionário (valor final)

P : período de oscilação ; $P = \frac{2\pi}{\omega}$; $\omega = \frac{\sqrt{1 - \xi^2}}{\tau}$ (freq. em rad.)
 $f = 2\pi \omega$ (freq. em ciclos)

ω_n : frequência natural de oscilação : $\omega_n = \frac{1}{\tau} \Rightarrow \xi = 0$

Sobrelavação ("overshoot") : $OS = \exp\left(\frac{-\pi \xi}{\sqrt{1 - \xi^2}}\right) = \frac{a}{b}$

Razão de decaimento : $DR = OS^2 = \exp\left(\frac{-2\pi \xi}{\sqrt{1 - \xi^2}}\right) = \frac{c}{a}$



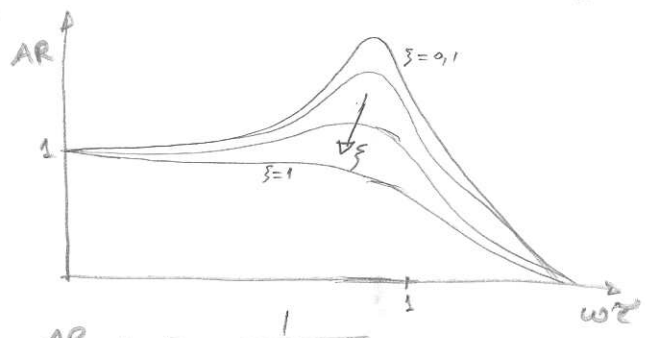
Resposta a uma senóide: $X(s) = G(s) \cdot \frac{A \omega}{s^2 + \omega^2}$

$x(t) = \frac{KA}{\sqrt{[1 - (\omega\tau)^2]^2 + (2\xi\omega\tau)^2}} \text{sen}(\omega t + \phi)$

$\phi = -\text{arctg} \left[\frac{2\xi\omega\tau}{1 - (\omega\tau)^2} \right]$

$AR = \frac{1}{\sqrt{[1 - (\omega\tau)^2]^2 + (2\xi\omega\tau)^2}}$

razão de amplitude saída/entrada



$\omega_{\text{máx}} = \frac{\sqrt{1 - 2\xi^2}}{\tau}, 0 < \xi < 0,707 \Rightarrow AR_{\text{máx}} = \frac{1}{2\xi\sqrt{1 - \xi^2}}$

$\xi > 0,707 \rightarrow$ não tem máximo
 $\xi = 0 \rightarrow AR \text{ é indefinido}$

NOTA: um sinal periódico com $\omega \sim \omega_{\text{máx}}$ causa uma resposta muito oscilatória e amplificada quando $\xi \sim 0$.

1.4 - Sistemas de Ordem Superior e Tempo Morto

\Rightarrow Os polos de $G(s)$, ou raízes da equação característica do sistema (raízes do polinômio do denominador de $G(s)$), também chamados de modos de resposta ou modos naturais, são os responsáveis pelas características dinâmicas do sistema, aliados aos zeros de $G(s)$.

- polo na origem \Rightarrow presença de elemento integrador ($\frac{1}{s}$)
- polo no semi-plano positivo (direito) \Rightarrow sistema instável ($e^{+t/\tau}$), ou de fase não-mínima (pois apresenta deslocamento de fase para entradas senoidais).
- polo complexo \Rightarrow comportamento oscilatório ($\text{sen}\omega t, \text{cos}\omega t$)
- todos os polos no semi-plano negativo (esquerdo) \Rightarrow sistema estável ($e^{-t/\tau}$), ou de fase mínima.

Dinâmicas na entrada podem introduzir zeros ou polos na função de transferência.

ex: $\tau_1 \frac{dx}{dt} + x = K \left(\tau_a \frac{du}{dt} + u \right) \Rightarrow G(s) = \frac{K(\tau_a s + 1)}{\tau_1 s + 1}$

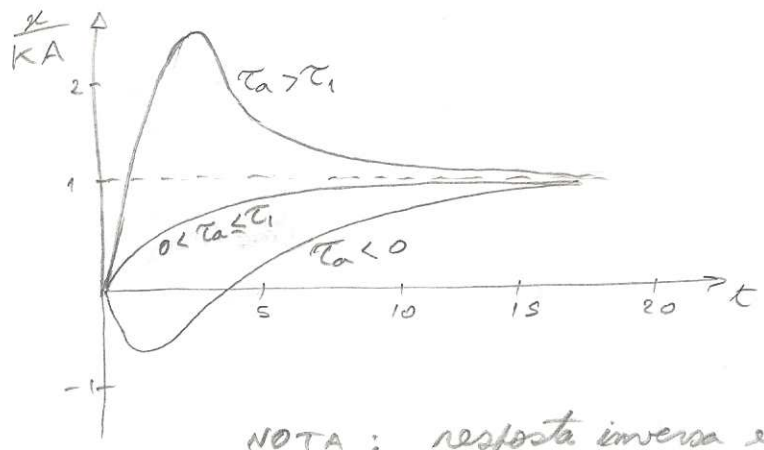
ex: $\tau_1 \frac{dx}{dt} + x = K \left(u + \frac{1}{\tau_a} \int_0^t u(\xi) d\xi \right) \Rightarrow G(s) = \frac{K(\tau_a s + 1)}{s(\tau_1 s + 1)}$

em geral: $G(s) = \frac{b_m s^m + b_{m-1} s^{m-1} + \dots + b_0}{a_m s^m + a_{m-1} s^{m-1} + \dots + a_0}$

ex: $G(s) = \frac{b_m (s-z_1)(s-z_2)\dots(z-z_m)}{a_m (s-p_1)(s-p_2)\dots(s-p_m)} = \frac{b_0}{a_0} \frac{(\tau_{z_1}s+1)(\tau_{z_2}s+1)\dots(\tau_{z_m}s+1)}{(\tau_{p_1}s+1)(\tau_{p_2}s+1)\dots(\tau_{p_m}s+1)}$

$K = \frac{b_0}{a_0} = G(0)$, ganho. ; $z_i = -\frac{1}{\tau_{z_i}}$; $p_i = -\frac{1}{\tau_{p_i}}$

ex: $G(s) = \frac{K(\tau_a s + 1)}{(\tau_1 s + 1)(\tau_2 s + 1)}$; $U(s) = \frac{A}{s}$; $\tau_1 > \tau_2$

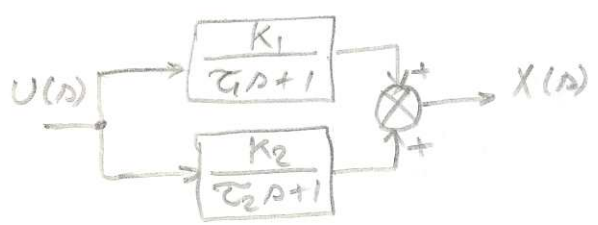


$\zeta = \frac{\tau_1 + \tau_2}{2\sqrt{\tau_1\tau_2}} > 1$ (sobre-amort.)

$\tau_a > \tau_1 \Rightarrow$ sobrelevação
 $0 < \tau_a \leq \tau_1 \Rightarrow$ 1ª ordem
 $\tau_a < 0 \Rightarrow$ resposta inversa

NOTA: resposta inversa e sobrelevações podem ocorrer quando há efeitos físicos que agem de forma oposta sobre a variável de saída em diferentes escalas de tempo.

1.4.1 Sistemas de 1ª ordem em paralelo:



$G(s) = G_1(s) + G_2(s)$
 $G(s) = \frac{K(\tau_a s + 1)}{(\tau_1 s + 1)(\tau_2 s + 1)}$

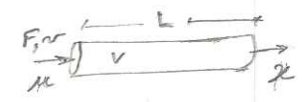
onde $K = K_1 + K_2$ e $\tau_a = \frac{K_1\tau_2 + K_2\tau_1}{K_1 + K_2}$

resposta inversa $\Rightarrow \tau_a < 0 \Rightarrow -\frac{K_2}{K_1} > \frac{\tau_2}{\tau_1}$, e

sendo $\tau_1 > 0$ e $\tau_2 > 0 \Rightarrow \text{sign}(K_1) = -\text{sign}(K_2)$ e $\text{sign}(K) = \text{signal do processo com maior constante de tempo}$.

1.4.2 Tempo morto ("dead time", "transportation lag", "distance-veloc. lag")

ex: transporte por tubulação: $\tau_d = \frac{V}{F} = \frac{L}{v}$



u e x é uma prop. do fluido em pontos distintos.

$x(t) = \begin{cases} 0, & t < \tau_d \\ u(t - \tau_d), & t \geq \tau_d \end{cases}$

\Rightarrow considerando perfil plano de velocidade no tubo (plug-flow)

$\therefore \frac{X(s)}{U(s)} = e^{-\tau_d s}$

Para escoamentos laminares e/ou fluidos não-newtonianos, o processo de transporte pode ainda ser modelado por um tempo morto baseado na velocidade média do fluido. Uma formulação mais geral é modelar o processo de transporte como uma função de transferência FOPDT (first-order plus dead-time):

$$G(s) = \frac{e^{-\tau_d s}}{\tau_m s + 1} \quad G(0) = K = 1$$

onde τ_m é a constante de tempo associada com o grau de mistura no tubo.

Aproximações para o tempo morto: usado no domínio da T. de Laplace devido a sua não linearidade.

1- Por um processo de 1ª ordem: $e^{-\tau_d s} = \frac{1}{e^{\tau_d s}} = \frac{1}{1 + \tau_d s + \frac{\tau_d^2 s^2}{2} + \frac{\tau_d^3 s^3}{3!} + \dots}$

$$e^{-\tau_d s} \approx \frac{1}{\tau_d s + 1}$$

2- Padê de 1ª ordem: $e^{-\tau_d s} = \frac{e^{-\tau_d s/2}}{e^{\tau_d s/2}} = \frac{1 - \frac{\tau_d s}{2} + \frac{\tau_d^2 s^2}{4} - \dots}{1 + \frac{\tau_d s}{2} + \frac{\tau_d^2 s^2}{4} + \dots}$

$$e^{-\tau_d s} \approx \frac{1 - \frac{\tau_d s}{2}}{1 + \frac{\tau_d s}{2}}$$

3- Padê de 2ª ordem: $e^{-\tau_d s} \approx \frac{1 - \frac{\tau_d s}{2} + \frac{\tau_d^2 s^2}{12}}{1 + \frac{\tau_d s}{2} + \frac{\tau_d^2 s^2}{12}}$

NOTA: a aproximação só é razoável para sistemas que não são puro tempo morto.

1.4.3 Aproximação de sistemas de ordem superior

Sistema de ordem n :

1) devido a n sistemas de 1ª ordem com $\tau_i = \frac{\tau}{n} \quad i=1, \dots, n$

$$G(s) = \frac{K}{\left(\frac{\tau}{n} s + 1\right)^n}$$

para $U(s) = \frac{A}{s} \Rightarrow X(t) = KA \left[1 - e^{-nt/\tau} \sum_{i=0}^{n-1} \frac{\left(\frac{nt}{\tau}\right)^i}{i!} \right]$

para $n \rightarrow \infty \Rightarrow G(s) \approx K e^{-\tau s}$

2) devido a n sistemas de 1ª ordem com $\tau_1 > \tau_2 > \dots > \tau_n$

$$G(s) = \frac{K}{(\tau_1 s + 1)(\tau_2 s + 1) \dots (\tau_n s + 1)}$$

Se o processo é dominado por τ_1 e τ_2 (maiores atas de tempo),

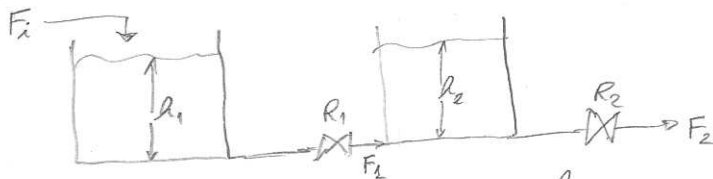
então:

$$G(s) \approx \frac{K e^{-\tau_d s}}{(\tau_1 s + 1)(\tau_2 s + 1)}$$

onde

$$\tau_d = \sum_{i=3}^n \tau_i$$

1.4.4 Processos com interações



$$A_1 \frac{dh_1}{dt} = F_i - F_1$$

$$A_2 \frac{dh_2}{dt} = F_1 - F_2$$

$$F_1 = \frac{(h_1 - h_2)}{R_1}; \quad F_2 = \frac{h_2}{R_2} \Rightarrow \begin{cases} \frac{dh_1}{dt} = \frac{F_i}{A_1} - \frac{h_1 - h_2}{A_1 R_1} \\ \frac{dh_2}{dt} = \frac{h_1 - h_2}{A_2 R_1} - \frac{h_2}{A_2 R_2} \end{cases}$$

$$x_1 = h_1 - \bar{h}_1$$

$$x_2 = h_2 - \bar{h}_2$$

$$u = F_i - \bar{F}_i$$

$$\Rightarrow \Delta X_1(s) = \frac{U(s)}{A_1} - \frac{X_1(s) - X_2(s)}{A_1 R_1}$$

$$\Delta X_2(s) = \frac{X_1(s) - X_2(s)}{A_2 R_1} - \frac{X_2(s)}{A_2 R_2}$$

$$\begin{bmatrix} s + \frac{1}{A_1 R_1} & -\frac{1}{A_1 R_1} \\ -\frac{1}{A_2 R_1} & s + \frac{1}{A_2 R_1} + \frac{1}{A_2 R_2} \end{bmatrix} \begin{bmatrix} X_1 \\ X_2 \end{bmatrix} = \begin{bmatrix} \frac{1}{A_1} \\ 0 \end{bmatrix} U(s)$$

$$\frac{X_1(s)}{U(s)} = \frac{K_1 (\tau_a s + 1)}{\tau^2 s^2 + 2\zeta \tau s + 1}$$

$$\frac{X_2(s)}{U(s)} = \frac{R_2}{\tau^2 s^2 + 2\zeta \tau s + 1}$$

$$\frac{X_2(s)}{X_1(s)} = \frac{R_2 / K}{\tau_a s + 1}$$

$$; K_1 = R_1 + R_2 ; \tau_a = \frac{R_1 R_2 A_2}{R_1 + R_2}$$

$$\tau = \sqrt{R_1 R_2 A_1 A_2} ; \zeta = \frac{R_1 A_1 + R_2 A_2 + R_2 A_1}{2 \sqrt{R_1 R_2 A_1 A_2}}$$

$\tau_a > 0 ; \zeta < 1$
 \downarrow
 zero < 0 \downarrow
 não-amortecido

1.4.5 Processos MIMO ("multiple-input, multiple-output")

→ ler exemplo da seção 6.7 Seborg, Edgar, Mellichamp.

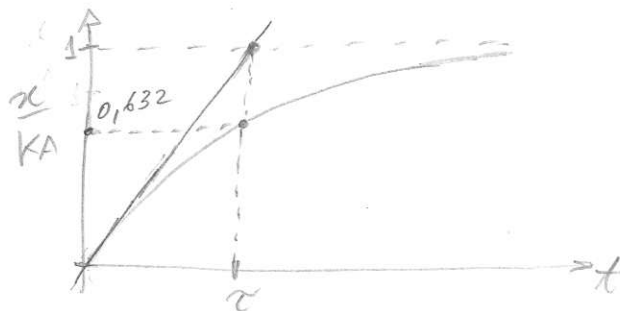
1.5 Modelos Dinâmicos Baseados em Dados

- Regressão linear (modelos lineares ou linearizados) } ler cap. 7.
- Regressões não-lineares (modelos não-lineares) } (Seborg)
- Curva de reação (1 e 2 = ordens): resposta a um degrau

Modelo de 1º ordem:

$$\tau \frac{dx}{dt} + x = k u \quad u(t) = A \quad \rightarrow \quad \frac{x(t)}{KA} = (1 - e^{-t/\tau})$$

$$\left. \frac{d}{dt} \left(\frac{x}{KA} \right) \right|_{t=0} = \frac{1}{\tau} \quad ; \quad K = \frac{1}{A} \lim_{t \rightarrow \infty} x(t)$$



$$\therefore \tau = \frac{1}{\left. \frac{d}{dt} \left(\frac{x}{KA} \right) \right|_{t=0}}$$

ou

$$\tau = t \Big|_{\frac{x}{KA} = 0,632}$$

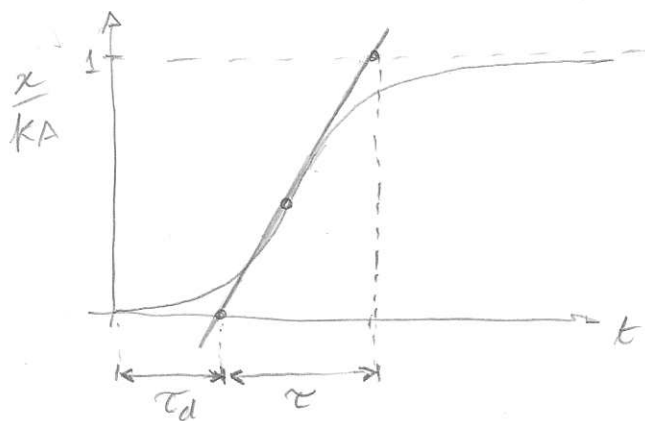
Modelo de 1º ordem com tempo morto:

$$\tau \frac{dx}{dt} + x = k u(t - \tau_d) \quad u(t) = A$$

$$s(t - \tau_d) = \begin{cases} 0, & t < \tau_d \\ 1, & t \geq \tau_d \end{cases}$$

$$\frac{x(t)}{KA} = \left[1 - e^{-\frac{(t - \tau_d)}{\tau}} \right] \cdot s(t - \tau_d)$$

$$K = \frac{1}{A} \lim_{t \rightarrow \infty} x(t)$$

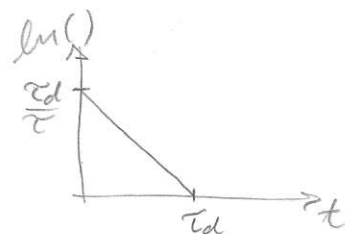


$$\tau = \frac{1}{\left. \frac{d}{dt} \left(\frac{x}{KA} \right) \right|_{t = \text{pto inflexão}}}$$

$$\tau_d = t \Big|_{\frac{x}{KA} (\text{tangente}) = 0}$$

ou

$$\ln \left(1 - \frac{x}{KA} \right) = -\frac{t}{\tau} + \frac{\tau_d}{\tau}$$



ou ainda, método de Sundaresan & Krishnaswamy :

$$T_d = 1,3 t_1 - 0,29 t_2$$

$$\sigma = 0,67 (t_2 - t_1)$$

onde $t_1 = t \Big|_{\frac{x}{KA} = 0,353}$ e $t_2 = t \Big|_{\frac{x}{KA} = 0,853}$

Modelo de 2ª ordem :

- método de Flanriott
- método de Smith
- método de Aldenbourg & Sartorius
- etc.

NOTA : dados experimentais + modelo \Rightarrow regressão (mínimos quadrados, máxima verossimilhança, ...)

1.6 Características Dinâmicas de Sistemas

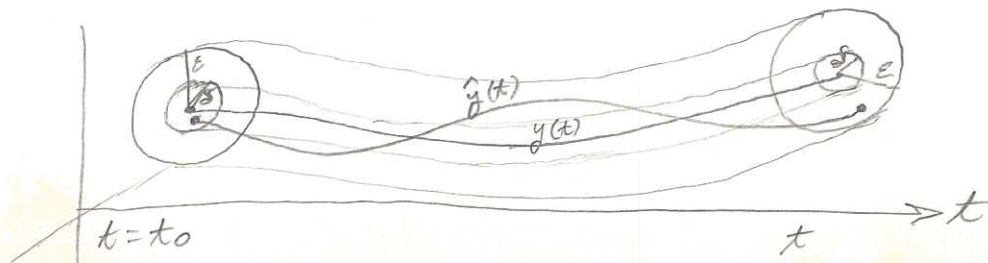
Dado um sistema não-linear :

$$\begin{cases} \frac{dy}{dt} = f(y) \\ y(t_0) = y_0 \end{cases}$$

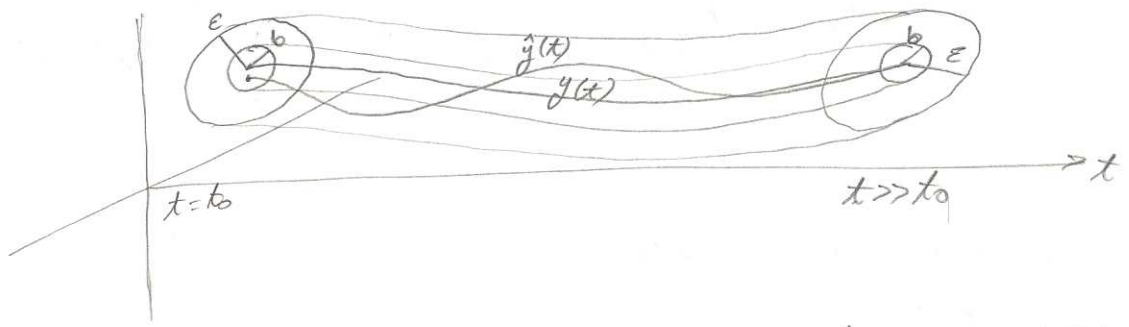
$f(\bar{y}) = 0$, \bar{y} também é chamado de ponto fixo, ou ponto de equilíbrio, ou ponto crítico

define-se

Estabilidade de Liapunov : $y(t)$ é dito ser estável (ou Liapunov estável) se, dado $\epsilon > 0$, existe um $\delta = \delta(\epsilon) > 0$ tal que, para qualquer outra solução, $\hat{y}(t)$, de $\frac{dy}{dt} = f(y)$ satisfazendo $\|y(t_0) - \hat{y}(t_0)\| < \delta$, então $\|y(t) - \hat{y}(t)\| < \epsilon$ para $t > t_0$.



Estabilidade assintótica: $y(t)$ é dito ser estável assintoticamente se ele for simplesmente estável e se existe uma constante $b > 0$ tal que $\|y(t_0) - \hat{y}(t_0)\| < b$, então $\lim_{t \rightarrow \infty} \|y(t) - \hat{y}(t)\| = 0$



linearizando o sistema, tem-se: $\begin{cases} \frac{dx}{dt} = J(\bar{y}) \cdot x \\ x(t_0) = x_0 \end{cases}$

onde $x(t) = y(t) - \bar{y}$
 $J(\bar{y}) = \left. \frac{\partial f}{\partial y} \right|_{\bar{y}}$, matriz Jacobiana

teorema: O ponto crítico, \bar{y} , do sistema não-linear $\frac{dy}{dt} = f(y)$ é assintoticamente estável se todos os valores característicos de $J(\bar{y})$ possuírem parte real negativa.

$$|J - \lambda I| = 0 \rightarrow \lambda = \alpha + \beta i, \quad \lambda \in \mathbb{R}^m$$

Características do sistema em função de λ :

todos λ com $\alpha \neq 0 \Rightarrow \bar{y}$ é um ponto fixo hiperbólico

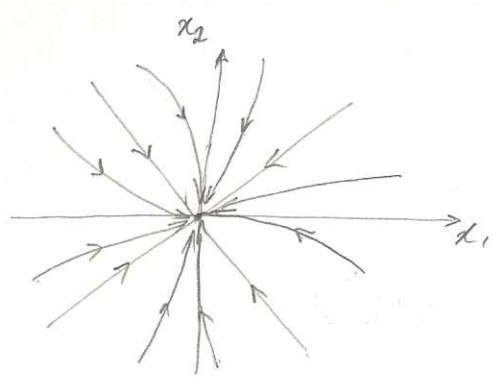
alguns λ com $\alpha > 0$ e os demais com $\alpha < 0 \Rightarrow \bar{y}$ é um ponto sela

todos λ com $\alpha < 0 \Rightarrow \bar{y}$ é um ponto estável, ou atrator, ou sumidouro, ou nó próprio.

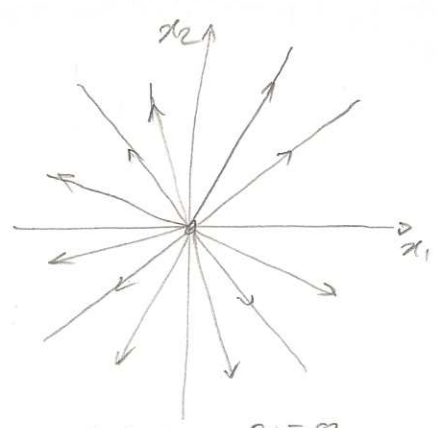
todos λ com $\alpha > 0 \Rightarrow \bar{y}$ é um ponto instável, ou repulsor ou fonte, ou nó impróprio.

todos λ com $\alpha = 0$ e $\beta \neq 0 \rightarrow \bar{y}$ é um centro ou ponto fixo não hiperbólico

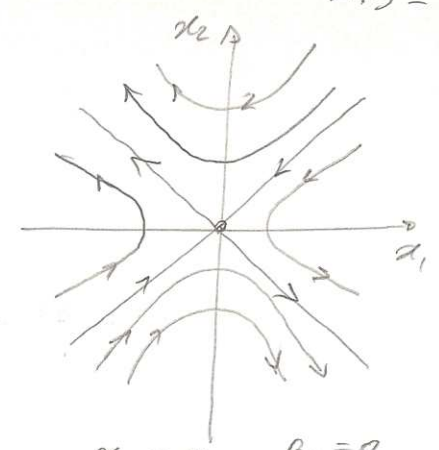
Diagrama de fases ou plano de fase ou trajetórias: é o gráfico das variáveis de estado.



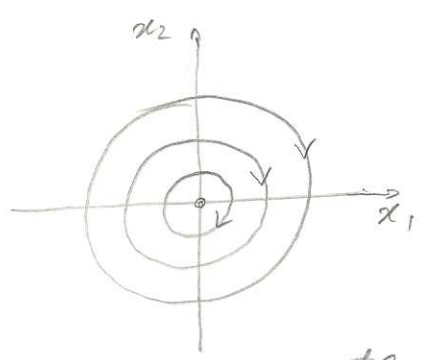
$\alpha_1 < 0, \beta_1 = 0$
 $\alpha_2 < 0, \beta_2 = 0$



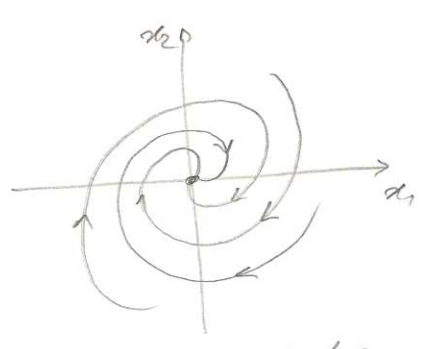
$\alpha_1 > 0, \beta_1 = 0$
 $\alpha_2 > 0, \beta_2 = 0$



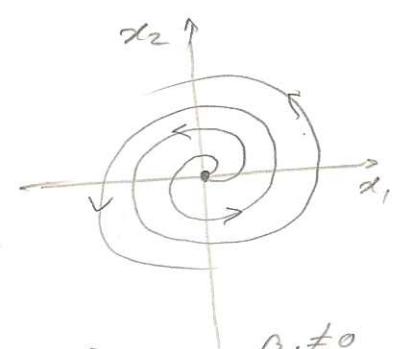
$\alpha_1 > 0, \beta_1 = 0$
 $\alpha_2 < 0, \beta_2 = 0$



$\alpha_1 = 0, \beta_1 \neq 0$
 $\alpha_2 = 0, \beta_2 = \beta_1$



$\alpha_1 < 0, \beta_1 \neq 0$
 $\alpha_2 < 0, \beta_2 = \beta_1$



$\alpha_1 > 0, \beta_1 \neq 0$
 $\alpha_2 > 0, \beta_2 = \beta_1$

Construção das trajetórias :

1) solução de $\frac{dx}{dt} = Jx$ para diversas condições iniciais, x_0

2) pelas isóclinas : $\frac{dx_2}{dx_1} = k = \text{cte}$ ou (método dos campos de direções)

